

高等学校教学参考书

物 理 学

第 三 册

王 謨 显 改 编

人民教育出版社

高等学校教学参考书



物 理 学

第 三 册

王 謨 显 改 编

人民教育出版社

全书分三册，第一册包括力学、机械振动与机械波、分子物理和热力学，第二册为电磁学，第三册包括光学和近代物理。

本书系 1963 年改编版。为了满足学校教学急需，未经修改，予以重印，供高等工业学校各类专业普通物理学课程教学参考。

简装本说明

目前 850×1168 毫米规格纸张较少，本书暂以 787×1092 毫米规格纸张印刷，定价相应减少 20%。希鉴谅。

物 理 学

第三册

王 谟 显 改 编

人 人 喜 欢 出 版 社 (北京沙滩后街)

上 海 中 华 印 刷 厂 印 装

新 华 书 店 上 海 发 行 所 发 行

各 地 新 华 书 店 经 售

统一书号 13012·086 开本 787×1092 1/32 印张 5 12/16
字数 145,000 印数 495,001—595,000 定价 (6) ￥ 0.48

1956 年 4 月第 1 版 1963 年 9 月第 2 版

1977 年 12 月上海第 25 次印刷

第三册 目录

第五編 光學

§ 5-0-1	關於光的本性的認識	1
第一章 波動光學基礎		4
§ 5-1-1	光線的相干性 相干光的獲得法	4
§ 5-1-2	光程和光程差	9
§ 5-1-3	薄膜的干涉	12
§ 5-1-4	劈尖的干涉 牛頓環	14
§ 5-1-5	干涉儀 干涉現象 在技術上的應用	19
§ 5-1-6	光的繞射現象	22
§ 5-1-7	惠更斯-菲涅耳原理 菲涅耳半周期帶	23
§ 5-1-8	單縫繞射	30
§ 5-1-9	繞射光柵 繞射光譜	35
§ 5-1-10	光學儀器的鑑別率	41
§ 5-1-11	倫琴射線的繞射 烏利弗-布喇格公式	42
§ 5-1-12	天然光和偏振光	47
§ 5-1-13	反射和折射时光的	

偏振	49	
§ 5-1-14	光的雙折射現象	53
§ 5-1-15	起偏振棱鏡和起偏振片	55
第二章 光的量子性		60
✓ § 5-2-1	熱輻射 發射本領 吸收系數和反射系數	60
✓ § 5-2-2	基爾霍夫輻射定律	62
✓ § 5-2-3	絕對黑體的輻射定律 普朗克的量子假說	65
✓ § 5-2-4	光測高溫學	68
§ 5-2-5	光电效應	72
§ 5-2-6	愛因斯坦方程 光子 光的二象性	76
✓ § 5-2-7	光电效應的實際應用 內光电效應	79
§ 5-2-8	倫琴射線的散射 康普頓效應	82

第六編 近代物理學基礎

§ 6-0-1	近代物理學發展簡述	85
第一章 原子的量子理論		90
§ 6-1-1	原子的核模型及其 實驗基礎	90
§ 6-1-2	原子光譜的規律	96
§ 6-1-3	氫原子理論	98
§ 6-1-4	索末菲的橢圓軌道 量子條件和量子數	104
§ 6-1-5	電子的自旋 玻爾	

理論的缺陷和量子 力學對量子條件的 修正	106	
§ 6-1-6	原子的殼層結構 門捷列夫元素周期 表	109
§ 6-1-7	線光譜的起源和倫 琴線狀光譜 光譜 分析	118

§ 6-1-8	德布罗意假說 电子的繞射 实物粒子的二象性.....	123	§ 6-3-1	原子核的結構和基本性质.....	143
§ 6-1-9	量子力学的基本概念.....	127	§ 6-3-2	天然放射性及放射性的研究方法.....	149
第二章	半导体簡介	131	§ 6-3-3	放射性衰变定律.....	153
§ 6-2-1	晶体中电子的能級、能带 导体、絕緣体和半导体.....	131	§ 6-3-4	人工的原子核轉变核反应.....	157
§ 6-2-2	固体的导电机构 n 型和 p 型半导体.....	135	§ 6-3-5	正电子 人为放射性.....	159
§ 6-2-3	半导体的边界現象 $p-n$ 結.....	138	§ 6-3-6	获得高能粒子的現代方法.....	162
§ 6-2-4	半导体的光电、热电导效应及其应用.....	140	§ 6-3-7	重核的裂变.....	164
第三章	原子核物理簡介	143	§ 6-3-8	核能及其应用.....	169
			§ 6-3-9	基本粒子及其相互轉換.....	175

第五編 光學

§ 5-0-1　關於光的本性的認識

光是電磁波。光的波長或頻率在一定範圍之內，能引起人們的視覺。本編包括兩部分，其一是討論光在傳播過程中所表現的波動性質及其基本規律，稱為波動光學基礎；其二是討論光和物体相互作用時所顯示的微粒性質，稱為光的量子性。

光學是物理學的重要組成部分。由於光學的研究，使人類對自然現象和自然規律的認識不斷深入和擴大，諸如物質結構理論、相對論和量子理論等現代學科的發展是和光學的研究分不開的。在近代技術科學中，光學又是重要的理論基礎，特別是在高精度測量技術中，光學現象及其理論的應用是十分突出的。因此，我們對這門學科應予以充分的重視。下面，首先對於光的本性的認識發展史作簡要的敘述。

早在遠古時代，人類對於光的現象，就累積了許多知識，使光學成為物理學中發展最早的一個部門。

在我們祖國里，古代人民對光現象的研究，有文字記載者首推墨經。現在摘錄其中兩條原文如下：“景倒。在午有端。景、光之人、煦若射；下之人也高，高之人也下。足蔽下光，故成景于上，首蔽上光，故成景于下。”這一條簡單地總結了光線直進的原理。原文中雖然沒有明確指出針孔成像的實驗，但實際上已經包括了這一實驗的內容。又：“鑒洼，景一小而易，一大而正。說在中之外內。”這一條記載了凹鏡成像的實驗。其次是淮南子關於用凹鏡取火的記載：“陽燧見日則燃而為火。注曰：取金杯無緣者……，日中時以當日，以艾承之，則燃得火。”再次是夢溪筆談關於針孔成像、

球面鏡成像的性质和位置、虹的观察、月蝕、月的盈亏等現象都有詳尽的叙述和精辟的見解。

墨經成书于公元前約五世紀到三世紀，比希腊欧几里德的光的反射定律的記載約早一百余年。英国培根 (Bacon) 于十三世紀始用金屬磨成凹鏡，比中国淮南子时代約晚一千三百余年。由此可見，墨經及其他古书中有关光学的記載，在世界科学史上应占崇高的地位。

除了反射、折射、成像等現象外，关于光的本性和傳播等問題，也很早引起人們的注意。古希腊的哲学家們曾經提出下面的看法：太阳和其他一切发光与发热的物体都发出微小的粒子，这些粒子接触到眼睛或皮肤上，就引起光和热的感觉。在十七世紀，有关光的本性問題，就形成两派不同的学說。一派是牛頓所主張的，叫做光的微粒說，认为光是从发光体发出来的而且以一定速度向空閒傳播的微粒。另外一派是惠更斯所倡議的，叫做光的波动說，认为光是某种振动，通过媒质，以波动形式向周圍傳播的。微粒說与波动說都能够解釋光的反射与折射。但是，在解釋折射时，微粒說与波动說之間存在着严重的分歧。實驗指出，当光綫从光疏的媒质折入光密的媒质时，例如从空气到水，光綫是折向法綫的。解釋这一事实时，微粒說需要假設水中的光速大于空气中的光速，而波动說則需要假設水中的光速小于空气中的光速。在十七十八两世紀中，人們还不能准确地用實驗来測定光速，因而无法从折射現象去判断两种学說的优劣。微粒說因为能够自然地說明光綫的直进現象，当时較为人們所接受。

到十九世紀初，人們發現光有干涉、繞射和偏振等現象，这些現象是波动的特征，与微粒說是不相容的。后来在 1850 年，佛科 (Foucault) 用實驗方法測定了光在水中傳播的速度，证明光在水中的速度小于光在空气中的速度，这是波动說的一个重要的實驗

論证。虽然如此，在光的波动說中仍然存在着一个問題，就是傳播光波的媒质問題。当时光的波动論者，把光振动看成連續媒质中某种机械的彈性振动，因此不得不臆造一种媒质，叫作“以太”或“宇宙以太”，以傳播光波。为了符合光的各种性质，“以太”必須具有弥漫宇宙、密度极小而切变彈性系数比鋼还大等种种特性，而且一切天体在这种媒质中运动时又要不受到任何阻力。显然，这样神秘的物质，实际上是很难想像的。用“以太”作为傳播光波的媒质，給波动說本身带来了不可克服的困难。

麦克斯韦在十九世紀七十年代发展了光的波动說，創造了光的电磁波理論以代替光的机械波理論。麦克斯韦认为光波是电磁波的一种。麦克斯韦的理論，从本质上证明了光和电磁現象的統一性，并对辩证唯物主义的普遍原理，即一切自然現象都是相互联系着的，提供了新的证据。光的电磁波理論还指出，光波照射到物体表面时，表面要受到压力。1901年俄国物理学家列別捷夫用实验方法測定了光压，其結果与理論十分符合，因此巩固了光的电磁波理論。光压的存在也证明了光的物质性，运动与物质的不可分割性和电磁場的物质性。

麦克斯韦以后，光的波动理論可以圓滿地解釋光的一切傳播現象，波动說达到登峰造极的境界。但是，从十九世紀末叶起，为了解釋一系列新发现的現象，必須假定光是具有一定质量、能量和动量的粒子所組成的粒子流，这种粒子称为光子。上述假定是1905年爱因斯坦提出的，称为光子假設。

應該指出，关于光的本性的理論，現在仍在发展中，将来亦将继续发展，更新的、更完善的理論尚有待于科学家的努力。

由上面的简单叙述，可見人类对光的本性的认识过程和辩证唯物主义的认识論是完全一致的。

第一章 波动光学基础

本章討論光在傳播過程中所表現的干涉、繞射和偏振等波动性质及其基本理論。在干涉部分，着重叙述光的相干性、相干光源的获得和光程差的意义及其計算方法。在繞射部分，着重叙述惠更斯-菲涅耳原理和单縫繞射。在偏振部分，着重叙述自然光和偏振光的性质，偏振光的获得和檢驗方法。

§ 5-1-1 光線的相干性 相干光的获得法

干涉現象是波动過程基本特征之一，光的波动性质可以从光的干涉現象获得证实。在波动學中指出过，只有相干波，即頻率相同、振动方向相同、周相相等或周相差保持恒定的波源所發射的波才能相互干涉。对于机械波來說，上述条件比較易于滿足。例如，利用两个完全相等的音叉就可以表演干涉現象。但是对于光波，即使两个发光体或光源的强度、形状、大小等完全相同，相干条件仍然不可能获得。这是由于光源发光本质的复杂性所决定的。按近代的研究，光波是由熾热物体中大量分子和原子的运动状态发生变化(見原子物理)而輻射出来的。在同一時間，各个分子或原子的变化不相同，因而它們所发的光的振幅、周相、振动方向亦不相同。另一方面，分子或原子的发光是間歇的，即发出一列光波之后，要停留若干時間，再发出第二列光波。因此，每一个分子或原子发出光波的性质也是随时在改变的。由此可見，要使两个发光体滿足相干的条件显然是不可能的，即使利用同一发光体上两个不同的部分也是不可能的。

然而我們可以用人为的方法，将同一点光源发出来的光線，分

成两个細窄的光束，并使这两光束在空間經過不同的路程而会聚于同一点，由于点光源的振动在任一时刻有确定的周相，所以在相交点上，两相交的光束将保持恒定的周相差，因此可以产生干涉現象。将点光源发出的光綫分成两个光束的办法，相当于获取两个周相相等或周相差恒定的光源，这样的光源称为相干光源。相干光源发出来的光綫称为相干光綫。下面先介紹在實驗室中获得相干光源的两种方法，即菲涅耳双鏡法和洛埃鏡法。

菲涅耳双鏡 菲涅耳采用从一个点光源发出而分別地在两个平面鏡上反射出来的两个光束，作为相干光束，并通过干涉現象的實驗，证实了光的波动性质。菲涅耳的實驗装置如图 5-1-1 所示。

图中 M_1 与 M_2 是

两个平面鏡，两鏡之間的夹角 α 是很小的。 S 是一个点光源，凡从 S 点发出再分別地被 M_1 和 M_2 反射以后的

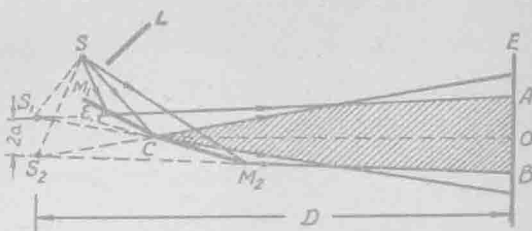


图 5-1-1 菲涅耳双鏡實驗圖

两条光綫都是相干光。設 S_1 和 S_2 分別为 S 在 M_1 和 M_2 中所成的虛像，则从 S 点发出經 M_1 (或 M_2) 反射出来的光綫到达空間任一点所經過的路程，与假定这光綫直接从 S_1 (或 S_2) 发出到达同一点所經過的路程相等。所以要計算从 M_1 和 M_2 反射出来的任何两条光綫到達某一点时的周相差，与假定这两条光綫从 S_1 和 S_2 发出的一样，所以可把 S_1 和 S_2 看作两个相干光源。图中画有斜綫的部分，表示从 S_1 和 S_2 发出的相干光綫在空間重疊的区域。在这区域内，放置一个适当的幕 E ，幕上就出現干涉条紋。为了避免 S 的光綫直接射到幕上，用屏 L 将 S 与 E 隔开。 S 通常是一个单色光源。用单色光源产生的干涉条紋是明暗相間的条紋。

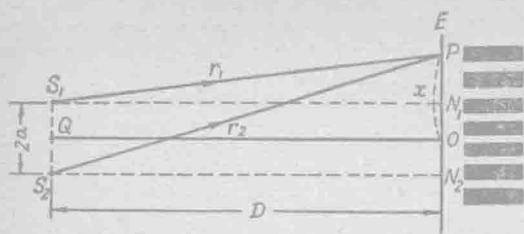


图 5-1-2 菲涅耳双缝产生干涉条纹计算图

下面我們根据波动学中的干涉条件，来討論虛光源 S_1 和 S_2 在 E 幕上产生的干涉条纹的分布情况。如图

5-1-2 所示，設 S_1

与 S_2 的距离为 $2a$, D 是 S_1 或 S_2 到 E 幕的距离。令 P 为幕上一任意点， r_1 和 r_2 分別为从 S_1 和 S_2 到 P 点的距离，则由 S_1 和 S_2 发出的光綫到达 P 点的波程差是：

$$\delta = r_2 - r_1.$$

令 N_1 和 N_2 分別为 S_1 和 S_2 在幕上的投影， O 为 N_1 和 N_2 的中点，并以 $OP=x$ ，則从三角形 S_1N_1P 及 S_2N_2P 得

$$r_1^2 = D^2 + (x-a)^2,$$

$$r_2^2 = D^2 + (x+a)^2.$$

两式相减，得

$$r_2^2 - r_1^2 = (r_2 - r_1)(r_2 + r_1) = \delta(r_2 + r_1) = 4ax.$$

通常 D 较 $2a$ 大得很多，所以 $r_2 + r_1$ 可看作等于 $2D$ ，因得波程差为

$$\delta = \frac{2ax}{D}.$$

在波动学中讲过，干涉条件决定于波程差与波长之间的关系。如果以 λ 为光源 S 发出的光波的波长，则当

$$\delta = \frac{2ax}{D} = k\lambda,$$

或 $x = k \frac{D}{a} \frac{\lambda}{2}, k=0, \pm 1, \pm 2 \dots$ (5-1-1)

时，两光波在 P 点相互加强，形成明条纹。在 O 点， $x=0$ ，即 $k=0$ ，因此 O 点出現明条纹，称为中央条纹。其他与 $k=\pm 1, k=\pm 2 \dots$

相对应的明条纹称为第一级、第二级…明条纹。

如果 $\delta = \frac{2ax}{D} = (2k+1) \frac{\lambda}{2}$,

或 $x = (2k+1) \frac{D}{2a} \frac{\lambda}{2}, k=0, \pm 1, \pm 2 \dots \quad (5-1-2)$

时，两光波在 P 点相互削弱，形成暗条纹。

从公式(5-1-1)和(5-1-2)，得出下述结论：第一，幕上出现的明暗条纹是以 O 点为对称中心上下交错地配置的，如图 5-1-2 右边所示。第二，如果已知 a, D 各量，则测定第 k 级干涉条纹到 O 点的距离 x ，代入上式，即可算出单色光的波长。第三，用不同的单色光源做实验时，各明暗条纹间的相互距离也不同。波长愈小的单色光例如紫光，条纹愈密；波长愈大的单色光例如红光，条纹愈稀（见图 5-1-3）。由此可见，如果用白光做实验，则幕上只有中央条纹是白色的。其它条纹，由于各单色光的明暗条纹的位置不相同（从图 5-1-3 可以看出），形成彩色条纹。

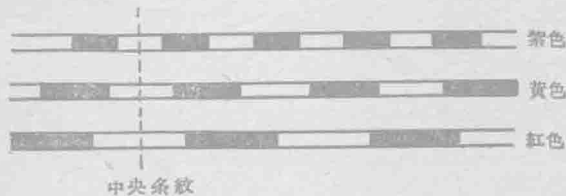


图 5-1-3 几种不同单色光的干涉条纹

洛埃镜 洛埃

(Lloyd) 应用从一个光源直接发出的光线与它在一个平面镜上的反射光线以构成相干光线。图 5-1-4 表示洛埃镜实验简图。

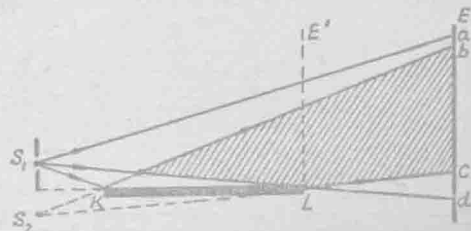


图 5-1-4 洛埃镜实验简图

图中 S_1 是光源，经过小孔的约束，有一部分光线直接射到屏幕上，另一部分经 KL 平面镜反射后也射到幕上。设 S_2 为 S_1 在镜中的虚像，则曾经反射过的光线到达空间任一点所经过的路程，与假定这光线直接从 S_2 发出时，是一样的。所以 S_2 可以看作反射光的光源，而且和 S_1 构成一对相干光源。图中画有斜线的部分就表示相干光在空间重叠的区域。把幕放在这个区域内时，显然幕上也会出现明暗干涉条纹。

洛埃镜实验和菲涅耳双镜实验不但证实了光的波动性质，而且还可以测定光波的波长。

洛埃镜实验的另一重要意义，是用实验证明了光波由光疏媒质射向光密媒质而反射出来时受到半波损失这一事实，当幕放到与镜端接触时，即图中 E' 的位置，幕上和镜面接触处出现暗条纹。这表示直接射到幕上的光线和从镜面上反射出来的光线，两者之一有了周相的变化 π 。因为直接射到幕上的光线不可能有这个变化，所以我们肯定，当光线从光密媒质反射出来时，有数值为 π 的周相突变。

[例题] 设菲涅耳双镜的夹角是 $\varepsilon = 10^{-3}$ [弧度]，有单色点光源 S 距两镜交叉处的距离 $r = 0.5$ [米]，单色光的波长 $\lambda = 5 \times 10^{-5}$ [厘米]，在距两镜交叉处的距离为 $L = 1.5$ [米] 的屏上出现明暗干涉条纹(图 5-1-5)。(a)求屏上两明条纹间的距离，(b)屏上最多可以看到多少条明条纹？

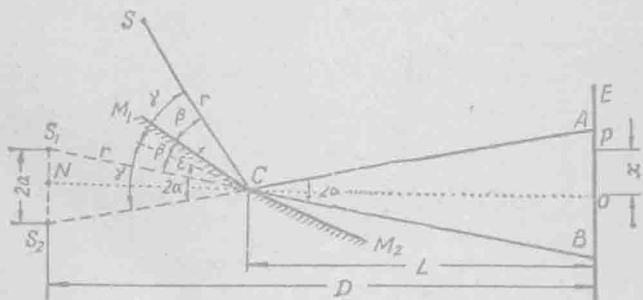


图 5-1-5 计算菲涅耳双镜中的干涉条纹用图

[解] (a) 从光源 S 发出经 M_1 和 M_2 反射出来的光线在 P 点产生明条纹的条件是

$$\frac{2ax}{D} = k\lambda,$$

式中 $2a$ 是 S_1 和 S_2 之间的距离, D 是 S_1 或 S_2 到屏幕的距离。 O 点显然是一个明条纹。距 O 点最近的明条纹可由上式中 $k=1$ 决定之, 即

$$\frac{2ax}{D} = \lambda. \quad (*)$$

如果求出 $2a$ 与 D 的数值, 然后代入上式, 即可求得 x 之值, 即两明条纹间的距离。

S_1 与 S_2 既是 S 分别在 M_1 和 M_2 中的虚像, 则根据几何光学, S 与 S_1 对 M_1 是对称的, 而 S 与 S_2 对 M_2 也是对称的, 因此 $SC = S_1C = S_2C = r$, 从图可以看出 $2\alpha, \beta, \gamma$ 以及 ε 各角之间的关系为

$$2\alpha = 2\gamma - 2\beta, \quad \gamma = \beta + \varepsilon,$$

解上列两式, 得

$$2\alpha = 2(\beta + \varepsilon) - 2\beta = 2\varepsilon,$$

即

$$\alpha = \varepsilon.$$

因此得

$$D = NO = NC + CO = r \cos \varepsilon + L,$$

$$2a = 2r \sin \varepsilon.$$

将 $2a$ 及 D 代入式 (*) 并解出 x , 得

$$x = \frac{D\lambda}{2a} = \frac{\lambda(L + r \cos \varepsilon)}{2r \sin \varepsilon},$$

以 $\lambda = 5 \times 10^{-5}$ [厘米], $L = 150$ [厘米], $r = 50$ [厘米] 代入上式, 并注意到因 ε 很小, 故 $\cos \varepsilon \approx 1$, $\sin \varepsilon \approx \varepsilon = 10^{-3}$ [弧度], 得

$$x = \frac{5 \times 10^{-5}(150 + 50)}{2 \times 50 \times 10^{-3}} = 10^{-1} \text{ [厘米]} = 1 \text{ [毫米].}$$

(b) E 屏上明条纹可能出现的最多条数决定于自虚光源 S_1 和 S_2 发出的光线在屏上相互重叠的范围。如果延长 S_1C 线到屏上 B 点, 延长 S_2C 线到屏上 A 点, 则在 M_2 足够长的条件下, 可以看出 AB 就是这个范围。从图得

$$AB = 2AO = 2CO \tan \varepsilon = 2CO\varepsilon = 2 \times 150 \times 10^{-3} = 0.3 \text{ [厘米]} = 3 \text{ [毫米].}$$

由此可见在屏上最多出现三条明条纹。

§ 5-1-2 光程和光程差

上面我们所讨论的, 是两条光线经过均匀媒质时所产生的干

质中，放入折射率为 $n_2 (> n_1)$ 的具有平行平面的另一种均匀媒质，如图 5-1-6 所示。设在媒质 n_1 中有单色点光源 S ，发出一束细窄光束，射到媒质 n_2 的表面上。我们来研究这光束中的 a 和 b 两条光线分别在媒质 n_2 的上下两表面上折射和反射后的情形。光线 a 在 A 点折射后，进入媒质 n_2 内，再在 C 点反射后，传到 B 点，再折入媒质 n_1 中，成为光线 a_1 。光线 b 直接射到 B 点，反射后，成为 b_1 。作 AD 直线，并令 $SA=SD$ ，则 AD 为由 S 发出的光波的波阵面。光线 a 由 A 经 C 到 B ，根据波动方程， B 点的振动可写作

$$x_a = A \cos 2\pi \left[\nu t - \frac{n_2(AC+CB)}{\lambda} \right].$$

式中 λ 为该单色光在真空中的波长，光线 b 从 D 到 B 而反射时，由于有半波损失（因为 $n_2 > n_1$ ）即周相有 π 角的变化， B 点的振动可写作

$$x_b = A \cos 2\pi \left(\nu t - \frac{n_1 DB}{\lambda} - \frac{1}{2} \right).$$

所以 a_1 和 b_1 两光波在 B 点的周相差是

$$2\pi \left[\frac{n_2(AC+CB)}{\lambda} - \frac{n_1 DB}{\lambda} - \frac{1}{2} \right].$$

按照波动的干涉条件，显然，当

$$2\pi \left[\frac{n_2(AC+CB)}{\lambda} - \frac{n_1 DB}{\lambda} - \frac{1}{2} \right] = 2k\pi,$$

或 $n_2(AC+CB) - n_1 DB - \frac{\lambda}{2} = k\lambda, k=0, \pm 1, \pm 2 \dots$

时，两光波在 B 点永远相互加强，因而形成亮点。

当 $n_2(AC+CB) - n_1 DB - \frac{\lambda}{2} = (2k+1)\frac{\lambda}{2}$

$$k=0, \pm 1, \pm 2 \dots$$

时，两光波永远相互削弱，因而形成暗点。

由此可见，干涉条件是决定于两条相干光线的光程差。上述

結論推广到光綫經過一系列的媒質時也是正確的。

空氣的絕對折射率 $n_1 \approx 1$, 所以光波在空氣中的波長 $\lambda_1 \approx \lambda$ (以後同)。現在再設一塊厚度為 e 的薄膜放入空氣中, 薄膜的折射率為 n , 光綫的入射角為 i , 折射角為 r , 則由圖 5-1-6 可見

$$AC = CB = \frac{e}{\cos r}, \quad DB = AB \sin i = 2e \tan r \sin i.$$

又由上面可以看出光程差 δ 為 $n(AC + CB) - DB - \frac{\lambda}{2}$, 即

$$\begin{aligned} \delta &= 2n \frac{e}{\cos r} - 2e \frac{\sin r}{\cos r} \sin i - \frac{\lambda}{2} = \\ &= \frac{2e}{\cos r} (n - \sin r \sin i) - \frac{\lambda}{2}. \end{aligned}$$

但 $\sin i = n \sin r, \cos r = \sqrt{1 - \sin^2 r} = \frac{\sqrt{n^2 - \sin^2 i}}{n}$,

故 $\delta = 2ne \cos r - \frac{\lambda}{2} = 2e \sqrt{n^2 - \sin^2 i} - \frac{\lambda}{2}$.

干涉條件為：

$$\left. \begin{aligned} \delta &= 2e \sqrt{n^2 - \sin^2 i} - \frac{\lambda}{2} = k\lambda, && \text{明條紋} \\ \delta &= 2e \sqrt{n^2 - \sin^2 i} - \frac{\lambda}{2} = (2k+1) \frac{\lambda}{2}, && \text{暗條紋} \end{aligned} \right\} \quad (5-1-3)$$

式中 $k = 0, \pm 1, \pm 2 \dots$

如果點光源 S 與薄膜表面相距很遠, 則 SA 與 SB 可以近似地認為是平行的, 所以上述干涉條件亦適用於平行入射光綫。

§ 5-1-3 薄膜的干涉

觀察透明的薄膜, 例如水面上的油膜、肥皂泡等, 我們常發現在薄膜的表面上有許多美麗的彩色條紋。這些條紋就是天然光在薄膜兩表面上反射後相互干涉的結果。一般地說, 薄膜的厚度是

不均匀的，因此这类現象的研究是比较复杂的，下面我們先研究一种較简单的情况，即假定薄膜的表面是完全平行的平面。

設有平行光綫以入射角 i 照

射一平行平面薄膜，我們來研究反射光和折射光的干涉現象。假定薄膜的折射率 $n > 1$ ，放在空气中，空气折射率是 1。如图 5-1-7 所示，設 a 、 b 为平行光束中的两条光綫，这光束射到薄膜的上表面时，分成两部分，一部分直接由上表面反射出来形成平行光束 $a_1 b_1$ ，再經過透鏡会聚于 P 点。另一部分折入薄膜里面，經下表面反射后，再經上表面折入薄膜的上空，形成平行光束 $a_2 b_2$ ，而后經過透鏡也会聚于 P 点。 $a_1 b_1$ 中各条光綫会聚于 P 点时沒有光程差， $a_2 b_2$ 中各条光綫会聚于 P 点时，也沒有光程差；但 $a_1 b_1$ 与 $a_2 b_2$ 两光束到达 P 点时相互間有光程差，这光程差就是 a_1 和 a_2 两条光綫之間的光程差，

$$\delta = n(AM + MB) - AB' - \frac{\lambda}{2} = 2nAM - AB' - \frac{\lambda}{2},$$

式中 $\frac{\lambda}{2}$ 一項表示光綫 a_1 在 A 点的半波損失。

由以上所推得的結果与式(5-1-3)相同，即

$$\delta = 2e\sqrt{n^2 - \sin^2 i} - \frac{\lambda}{2}.$$

当

$$\delta = 2e\sqrt{n^2 - \sin^2 i} - \frac{\lambda}{2} = k\lambda$$

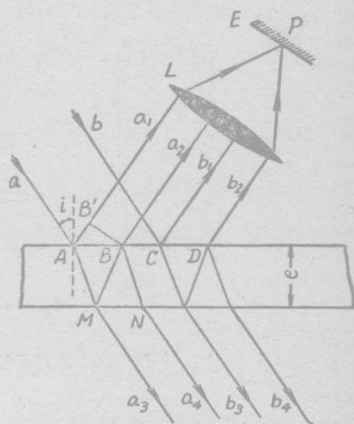


圖 5-1-7 薄膜反射光和
透射光的干涉